

Commande MLI d'un onduleur en pont monophasé

LUCAS LESCURE - EVA MATURANA

Table of Content

Introduction	2
1. Objectifs du TP	3
1.1. Analyse spectrale du signal MLI	3
1.2. Stratégie de commande	4
2. Pré-étude	4
3. Réalisation	4
3.1. Assemblage.	4
3.2. Programmation	5
3.3. Mise en Pratique	7

Introduction

L'alimentation d'un moteur en courant alternatif sinusoïdale est utile dans des application où l'on souhaite un fonctionnement à vitesse constante. Ces sources sont typiquement fixées et donc pas adaptés pour des fonctionnement à vitesse variable. On préférera donc utiliser une commande MLI¹, permettant de contrôler la puissance fournie au moteur à partir d'une source continue de courant en faisant varier la largeur des impulsions.

Cependant lorsqu'une charge est alimenté par une commande MLI, il s'y présente des harmoniques sur le réseau qui nuisent la qualité de transfert de l'énergie, et interfèrent avec d'autres appareils sur le circuit. C'est pourquoi on cherchera donc comment supprimer les harmoniques multiples de rang 3 et 5 pour améliorer ce transfert d'énergie.

¹Modulation en Largeur d'Impulsion

1. Objectifs du TP

L'objectif de ce TP sera alors d'utiliser une structure en pont monophasé à IGBT² en commande MLI précalculée avec suppression des harmoniques 3 et 5.

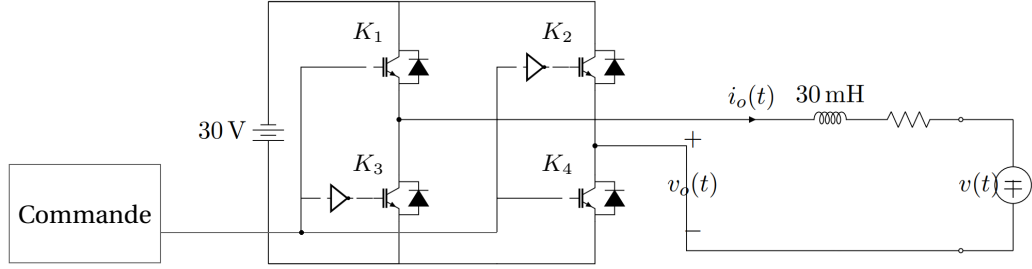


Figure 1.1. Structure en pont monophasé à IGBT

On rappelle aussi la forme d'onde de la tension de sortie qui est la suivante::

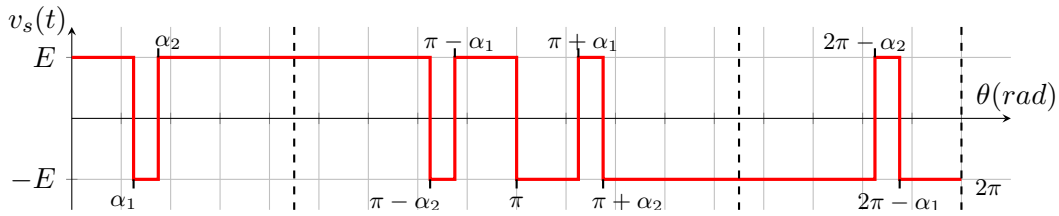


Figure 1.2. Forme d'onde $v_s(t)$

On utilisera, comme ci-présent sur la forme d'onde, 2 degrés de liberté α_1 et α_2 qui permettrons la suppression des harmoniques sur le signal de commande MLI.

1.1. Analyse spectrale du signal MLI

D'après la Figure 1.2. on a :

- $v_s(t) = -v_s(t)$: Donc c'est une fonction impaire et n'admet que des sinus dans le développement en série de Fourier de $v_s(t)$.
- $v_s(t + \frac{T}{2}) = -v_s(t)$: Donc il y a symétrie de de glissement et il n'y aura que des termes impaires dans la série de Fourier.

Ceci nous permet alors de réduire l'intervalle d'étude de la série de Fourier à $\frac{T}{4}$, soit:

$$\hat{V}_{s_{2k+1}} = \frac{4E}{\pi} \left[\int_0^{\alpha_1} \sin((2k+1)\theta) d\theta - \int_{\alpha_1}^{\alpha_2} \sin((2k+1)\theta) d\theta + \int_{\alpha_2}^{\frac{\pi}{2}} \sin((2k+1)\theta) d\theta \right]$$

$$\hat{V}_{s_{2k+1}} = \frac{4E}{(2k+1)\pi} \left[1 - 2 \cos((2k+1)\alpha_1) + 2 \cos((2k+1)\alpha_2) \right]$$

On peut alors écrire:

$$v_s(t) = \hat{V}_{s_{2k+1}} \cdot \sin((2k+1)\omega t)$$

$$v_s(t) = \frac{4E}{(2k+1)\pi} \left[1 - 2 \cos((2k+1)\alpha_1) + 2 \cos((2k+1)\alpha_2) \right] \cdot \sin((2k+1)\omega t)$$

Ainsi pour trouver les valeurs de α_1 et α_2 afin d'éliminer les harmoniques 3 et 5 il suffit de résoudre le système :

$$\begin{cases} \hat{V}_{s_3} = 0 = 1 - 2 \cos(3\alpha_1) + 2 \cos(3\alpha_2) \\ \hat{V}_{s_5} = 0 = 1 - 2 \cos(5\alpha_1) + 2 \cos(5\alpha_2) \end{cases} \Leftrightarrow \begin{cases} \alpha_1 = 23.6^\circ \\ \alpha_2 = 33.3^\circ \end{cases}$$

²Insulated-Gate Bipolar Transistor

1.2. Stratégie de commande

En ce référant encore à la Figure 1.2. on peut établir la commande de l'onduleur en pont qui sera:

- Pour $v_s = E$ alors les interrupteurs K_1 et K_4 doivent être ouverts donc $v_c = 10\text{ V}$.
- Pour $v_s = -E$ alors les interrupteurs K_2 et K_3 doivent être ouverts donc $v_c = 0\text{ V}$ (ou -10 V) suivant le type de pont utilisé.

La commande devra donc avoir la forme suivante:

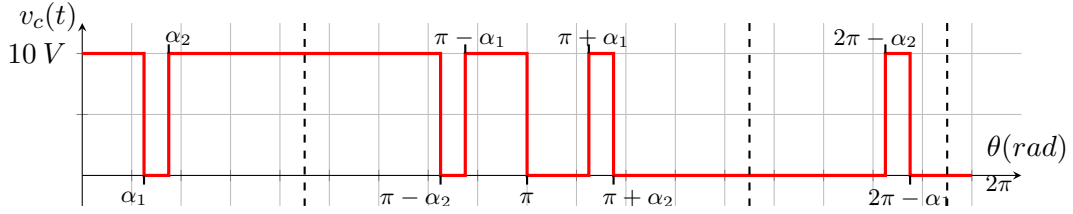
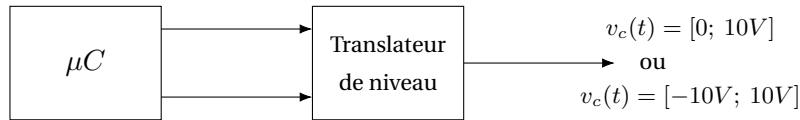


Figure 1.3. Forme d'onde de la commande $v_c(t)$

Le schéma Synoptique de l'ensemble de la commande du convertisseur est la suivante:



2. Pré-étude

On peut découper le signal $v_s(t)$ comme une succession de signaux créneaux de période et durée à l'état haut variables. Cependant ces signaux ont chacun un α et T différent comme on peut voir ci-dessous:

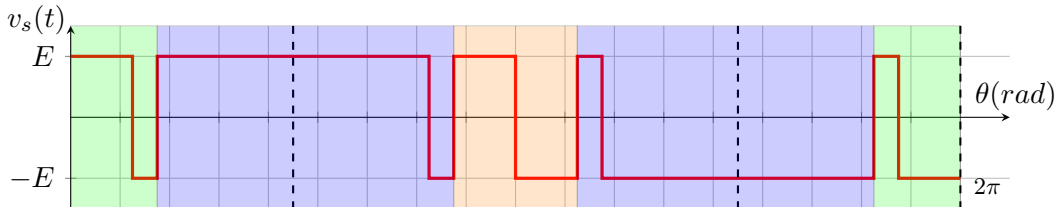


Figure 2.1. Forme d'onde $v_s(t)$ découpée en 5 créneaux

On peut relever ces signaux créneaux dans le tableau suivant avec $\Delta_k = \alpha'_k \cdot T_k$:

Δ_k	α_1	$\pi - 2\alpha_2$	α_1	$\alpha_2 - \alpha_1$	$\alpha_2 - \alpha_1$
T_k	α_2	$\pi - \alpha_2 - \alpha_1$	$2\alpha_2$	$\pi - \alpha_1 - \alpha_2$	α_2

Pour des raisons de commodité on choisira une horloge pour le PWM qui aura 36000 période d'horloge pour une période du PWM, soit $36000 T_{clock} = T_{total}$. Ainsi pour un réseau de période 20 ms (50 Hz), on a une période d'horloge à $T_{clock} = 55.5\text{ ns}$ et de fréquence $f_{clock} = 1.8\text{ MHz}$.

3. Réalisation

3.1. Assemblage

On va réaliser la commande de l'onduleur à l'aide du logiciel PSoc³ en utilisant la carte microcontrôleur CY8CKIT-042 PSoc 4 Pioneer Kit du fabricant Infineon sur laquelle nous avons un chip CY8C4225AXI-483.

³Programmable System-on-Chip

Sur un nouveau projet vide, on instancie le PWM(TCPPWM mode) dans la fenêtre TopDesign. On configure alors le composant en cochant On terminal count puis on insère dans la case Period la valeur de $T_1 = \alpha_1 = 2360$, et dans la case Compare la valeur du rapport cyclique $\Delta_1 = \alpha_2 = 3330$.

On ajoute de la même façon le composant Clock (renommée "clock"), en lui configurant une fréquence $f_{clock} = 1.8 \text{ MHz}$, le composant Interrupt(renommée "isr") et un Digital Output Pin(renomé "PWM_OUT"). On relie ensuite ces composants par un fil au PWM avec le composant Clock allant vers l'entrée clock, le composant Interrupt branché à la sortie interrupt, et le Digital Output Pin à la sortie line.

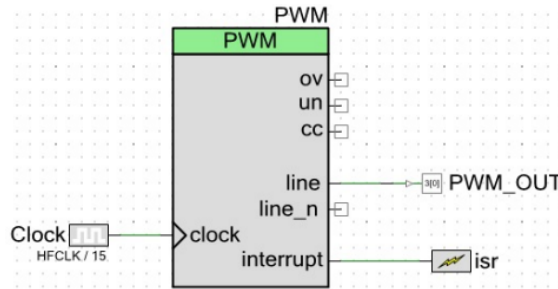


Figure 3.1. Cablage des composant en TopDesign du projet

3.2. Programmation

On utilisera des variable globale dans le fichier main.c pour les durées à l'état haut et les périodes. Ainsi on fera intervenir dans des tableau volatile, delta[5] et T[5], les valeurs précédemment trouvés lors de la pré-étude. Le qualificatif volatile est utilisé pour ne pas optimiser l'accès à la variable de façon à ce que le tableau puisse être utilisé par l'interruption même si une tâche concurrente l'utilisait.

On vas aussi définir des macros alpha1,alpha2 et demip pour remplacer la valeur de α_1 , α_2 et celle de la demi période.

```
#include "fonction.h"
```

```
#define alpha1 2360
```

```
#define alpha2 3330
```

```
#define demip 18000
```

```
volatile uint16_t delta[5]={alpha1, demip-2*alpha2, alpha1, alpha2-alpha1, alpha2-alpha1}
```

```
volatile uint16_t T[5]={alpha2, demip-alpha2-alpha1, 2*alpha1, demip-alpha1-alpha2, al
```

Figure 3.2. Déclaration et initialisation des variables globales dans le main.c

Pour l'interruption on utilisera la fonction isr_StartEx() qui prendra en paramètre le nom de notre interruption, ici moninter. On définira cette interruption dans le fichier fonction.c pour ceci on créé d'abord le fichier fonction.h dans lequel on utilise un API⁴ avec la librairie project.h. Grâce à celle ci on peut alors déclarer une interruption moninter de la façon suivante.

```
#ifndef INTERRUPT_HEADER
#define INTERRUPT_HEADER
#include "project.h"
void startup(void);
CY_ISR_PROTO(moninter);
#endif
```

Figure 3.3. Contenu du fichier fonction.h

⁴Application Programming Interface

On en profite aussi pour déclarer la fonction `startup()` qui permettra d'initialiser les périphériques au démarrage.

On code alors dans le fichier `fonction.c` les définitions des fonctions `startup()` et `CY_ISR(moninter)` qui sera déclenchée dans l'évènement d'une interruption. Dans le cas de l'interruption on affecte à une variable globale `source`, la source de l'interruption en veillant à plus tard effacer cette source pour éviter de rentrer dans une boucle infinie.

Le NVIC⁵ gère les demandes d'interruption et les envois au processeur. Quand une interruption est déclenchée un signal est envoyé au NVIC pour exécuter l'interruption correspondante définie dans notre programme, à la fin de l'interruption il faut remettre ce signal à 0 pour éviter que le NVIC ne réexécute l'interruption, c'est pourquoi on fait intervenir la fonction `PWM_ClearInterrupt()` qui efface la source d'interruption au NVIC.

Pour récupérer la source on utilise une variable globale `source` à laquelle on lui affecte la valeur de l'interruption avec la commande `GetInterruptSourceMasked()` pour qu'elle puisse ensuite être gérée par le NVIC dans la commande `PWM_ClearInterrupt(source)`.

Dans l'interruption on affecte les valeurs de `Compare` et `Period` du MLI en utilisant les tableaux définis dans le fichier `main.c` donc il faut utiliser le mot clé `extern` pour que l'interruption puisse les accéder.

Cette affectation doit être réalisée à chaque coup d'interruption c'est à dire à chaque fois que la période d'un créneau est finie. Pour passer d'un créneau à l'autre on définit une variable locale `i` à l'aide du mot clé `static` et qui permettra à la variable de réserver en emplacement mémoire qui ne sera pas désallouée quand le compilateur sort de l'interruption. On évite ainsi une erreur de segmentation car sans ce mot clé, la mémoire sera désallouée mais à la prochaine interruption on réutilise cette variable qui a déjà été définie mais qui n'as plus d'emplacement mémoire.

```
#include "fonction.h"
extern uint16_t delta[5];
extern uint16_t T[5];

void startup () {
    Clock_Start();
    PWM_Start();
    isr_StartEx(moninter);
}

CY_ISR(moninter) {
    // Declaration de la variable source d'interruption
    uint32 source;
    // Affectation de la source d'interruption a la variable source
    source = GetInterruptSourceMasked();
    // Code a inserer
    static volatile uint8_t i=0;
    i = (i + 1) % 5;
    // Utilisation des fonctions PWM_WritePeriod() et PWM_WriteCompare()
    PWM_WriteCompare(delta[i]);
    PWM_WritePeriod(T[i]);
    // Effacement de la source d'interruption pour éviter la boucle infinie
    PWM_ClearInterrupt(source);
}
```

Figure 3.4. Contenu du fichier `fonction.c`

⁵Nested Vector Interrupt Controller

```

int main() {
    CyGlobalIntEnable //Enable global interrupts

    //Place your initialisation/startup code here
    startup();

    for(;;) {
        //Place your application code here
    }
}

```

Figure 3.5. Contenu du main dans le fichier *main.c*

3.3. Mise en Pratique

On effectue le teste en utilisant un oscilloscope ayant le module FFT pour obtenir le spectre du signal de sortie du bloc MLI.

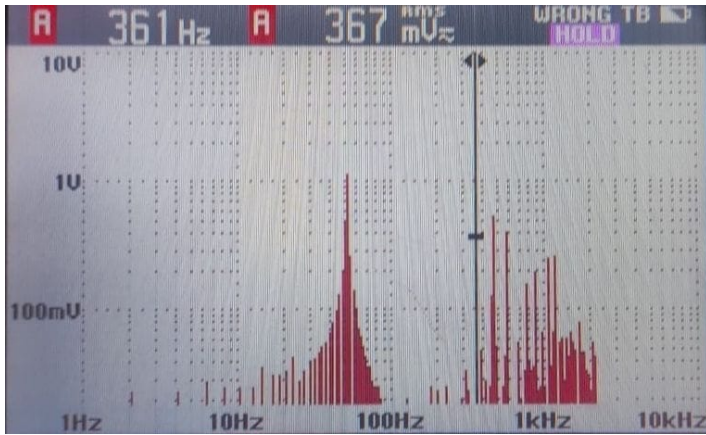


Figure 3.6. Spectre du signal avec harmoniques 3 et 5 supprimées

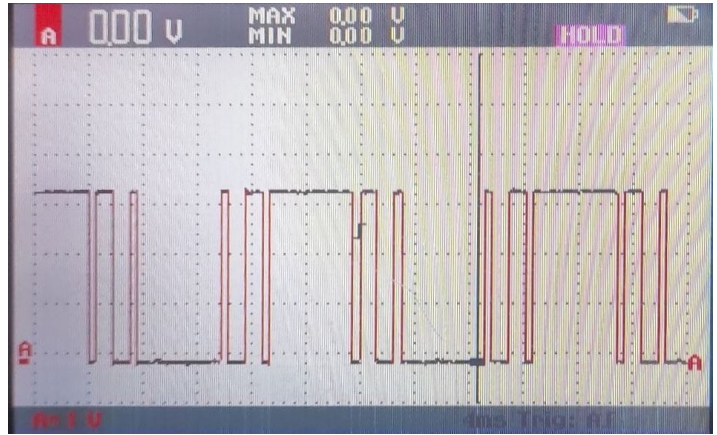


Figure 3.7. Chronogramme du signal de commande $v_c(t)$

On obtient comme nous le voulions un spectre dont les harmoniques de rang 3 et 5 ont été supprimés et un signal de commande conforme à ce qui à été trouvé lors de la pré-étude.